

چکیده

حوضه رسوی ماهنشان- میانه یک حوضه باریک در جنوب شهرستان میانه و خاور شهرستان ماهنشان است که روند ساختارهای اصلی چین و راندگی لایهای سازند قرمز بالایی درون آن با راستای کشیدگی شمال باخته- جنوب خاور حوضه همخوان است. با توجه به جایگاه این پهنه در مرز گذار میان دو قلمرو تکتونیک متفاوت گستره شمال باخته ایران، بررسی تحولات ساختاری آن می تواند به بازسازی بهتر تاریخچه ژئودینامیکی شمال باخته ایران کمک کند. از این رو، در این پژوهش سعی شده است با کمک تصویرهای ماهواره‌ای، بررسی و برداشت میدانی ساختارها (از جمله هندسه چین خوردگی‌ها و داده‌های هندسی و جنبشی گسله‌ها) و وارون‌سازی داده‌های جنبشی گسله‌ها، تحولات ساختاری دیرین حوضه ماهنشان- میانه بررسی شود. بررسی الگوی سطحی و اندازه گیری‌های ساختاری نشان می‌دهد چین‌های اصلی گستره که ناشی از دگریختی اوآخر میوسن میانی هستند، با گامه جوان‌تری از چین‌ها که راستای محوری شمال خاور- جنوب باخته دارند، فرا نهاده شده‌اند. بر پایه شواهد ساختاری و چینه‌شناسی، گامه دوم در بازه زمانی پلیوسن تا کواترنری رخ داده است. وارون‌سازی داده‌های جنبشی گسله‌ها گویای وجود یک رژیم فشارشی دیرین، اوآخر پلیوسن- کواترنری، باراستای محور بیشینه فشارش افقی شمال باخته- جنوب خاور در حوضه رسوی ماهنشان- میانه است که پیش از سامانه تنفس امروزی، با راستای شمال خاور- جنوب باخته، بر این گستره چیره بوده است. چنین راستای فشارشی می‌تواند مسبب تشکیل چین‌های گامه دوم در گستره حوضه رسوی ماهنشان- میانه باشد.

واژگان کلیدی: تنش دیرین، شمال باخته ایران، ماهنشان- میانه، گسل، چین خوردگی فرا نهاده.

شواهد دگریختی برآمده از تنش دیرین پلیو- کواترنری در حوضه رسوی ماهنشان- میانه (شمال باخته ایران)

مهنتاب افلاکی (نویسنده مسئول)

استادیار، دانشکده علوم زمین دانشگاه تحصیلات تکمیلی علوم پایه زنجان، زنجان، ایران
aflaki@iasbs.ac.ir

اسماعیل شبانیان

استادیار، دانشکده علوم زمین دانشگاه تحصیلات تکمیلی علوم پایه زنجان، زنجان، ایران

زینب داوودی

استادیار، گروه زمین‌شناسی دانشگاه بین‌المللی امام خمینی (ره)، قزوین، ایران

- ۱- مقدمه

خاور صفحه عربی است. در شمال باخته ایران، به سبب تأثیر پوسته سخت خزر جنوبی از زمان پلیوسن- پلیستوسن [۲۶، ۱۲- ۲۷] و فرار فلات آناتولی به سوی باخته [۲۸، ۱۶]، الگوی دگریختی‌ها، پیچیدگی بیشتری می‌یابد؛ به گونه‌ای که امروزه در گستره شمال باخته ایران دو پهنه زمین‌ساختی با جهت بیشینه فشارش افقی متفاوت شمال خاور- جنوب باخته (در گستره کوههای تالش) و شمال باخته- جنوب خاور (در باخته کوههای تالش و شمال گسلهای شمال تبریز) دیده می‌شود (شکل ۱- الف). با توجه به ابهاماتی که در مرز گذار میان این دو پهنه و

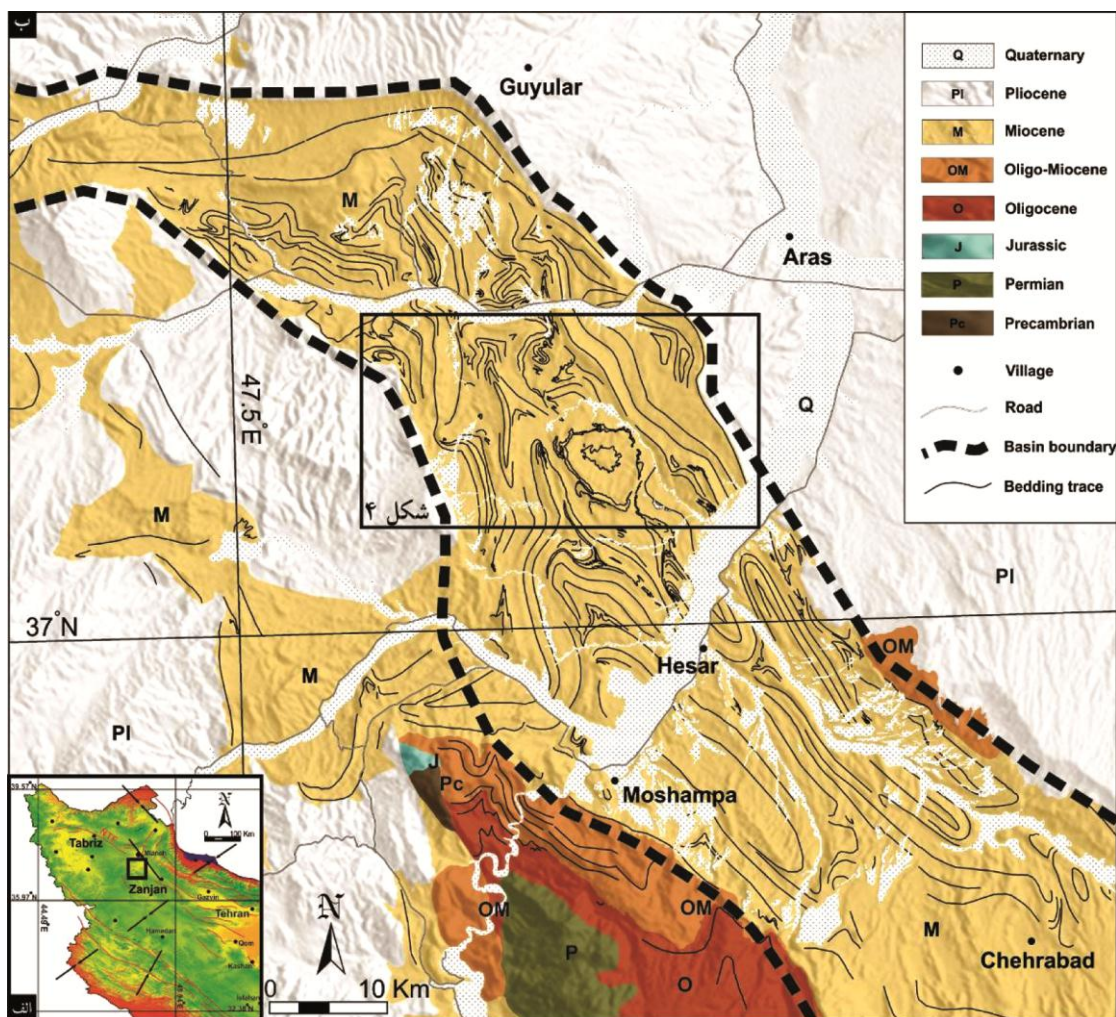
پژوهش‌های ساختاری که در زمینه وارون‌سازی داده‌های گسلی در بخش‌های مختلف ایران از جمله زاگرس [۳-۱]، البرز [۴]، کپه‌داغ [۵-۶]، مکران [۷-۸]، ایران مرکزی [۹]، و شمال باخته ایران [۱۰-۱۴] انجام شده است نه تنها در ترکیب با روش‌های ژئودتیکی [۱۵-۲۵] و ژئوفیزیکی [۱۲] اطلاعات ارزشمندی برای درک مدل ژئودینامیک امروزه ایران فراهم کرده است، بلکه در بازسازی تاریخچه تکتونیکی ایران نیز بسیار مؤثر بوده است. این پژوهش‌ها نشان داده‌اند که دگریختی امروزی در بیشتر گستره ایران، متأثر از همگرایی به سمت شمال

نمونه ۱۰-۱۱]، بررسی شده است.

۲- زمین‌شناسی گستره‌ی مورد مطالعه

حوضه رسوی سنجوئیک ماهنشان- میانه در گستره شمال باختری ایران (شکل ۱)، یک حوضه چین خورده با دگریختی جوان است که در آن نهشته‌های دریاچه‌ای و رودخانه‌ای مربوط به سازند قرمز بالایی [۲۹] در راستای کلی شمال باختر- جنوب خاور در سطح رخمنون یافته‌اند (شکل ۱). در حوضه رسوی ماهنشان- میانه تنها واحدهای میوسن سازند قرمز بالایی بروندز دارند. پرامون این حوضه بیشتر با نهشته‌های جوان پلیوسن- کواترنری پوشیده شده است. کهن‌ترین واحدهای سنگی

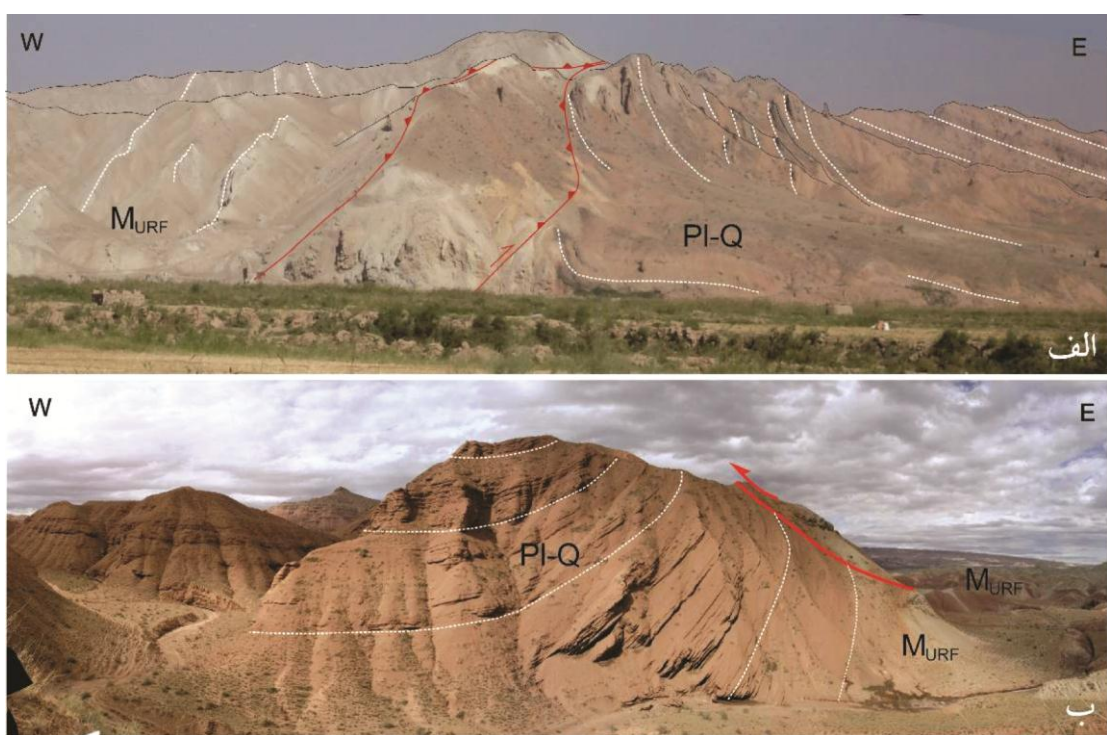
نقش بلوک خزر جنوبی در تکتونیک شمال- شمال باختر ایران وجود دارد، پژوهش‌های ساختاری می‌تواند ابزار مناسبی برای درک بهتر تاریخچه تکوین پس از میوسن گستره شمال باختر ایران و شناسایی فرآیندهای ژئودینامیک در حال رویداد باشد. از این‌رو، در این پژوهش با استفاده از تصویرهای ماهواره‌ای، برداشت میدانی ساختارها (از جمله داده‌های جنبشی گسلهای و هندسه چین خورده‌گی‌ها) و تلفیق نتایج حاصل از تحلیل هندسی چین‌ها و تنش دیرین حاصل از وارون‌سازی داده‌های جنبشی گسلهای در حوضه رسوی سنجوئیک ماهنشان- میانه، تاریخچه تکوین پس از میوسن این گستره از شمال باختر ایران، پیش از چیرگی سامانه تنش شمال خاور- جنوب باختر امروزی [برای



شکل (۱): نقشه زمین‌شناسی گستره‌ی حوضه رسوی سنجوئیک ماهنشان- میانه. بر پایه تصویرهای ماهواره‌ای و نقشه‌های زمین‌شناسی برگه‌های ۱:۱۰۰۰۰۰ میانه [۳۰] و ماهنشان [۳۱]. موقعیت شکل (۴) بر روی این نقشه مشخص شده است.

توالی تبخیری قاعده سازند قرمز بالایی (شامل شیل های ژیپس دار، لایه های ژیپس و نمک) در بخش های دریایی کم عمق و لاگون ها نهشته شوند. رسوبات آواری با خاستگاه قاره ای میوسن بالایی بخش بالایی این توالی را می سازد [۲۹]. رخداد چین خوردگی و بالا آمدگی پایان میوسن و فرسایش شدید پس از آن سبب حذف بخش گسترده ای از واحدهای قبلی و ایجاد ناپیوستگی زاویه داری شد که با کنگلومرای قاره ای اواخر میوسن، حدود ۱۰/۷ میلیون سال پیش [۳۲] تا پلیوسن پوشیده شد. سبب ای زیاد نهشته های پلیوسن بیرون از حوضه ماهنشان - میانه و در نزدیکی مرزهای خاوری و باخته رامز گسلی فشارشی (شکل ۲) نشان می دهد که این واحد در کل منطقه گسترش داشته و فرسایش برآمده از رخداد فرسایش بعدی در راستای حوضه ماهنشان - میانه سبب ازین رفتگی کامل نهشته های پلیوسن و رخنمون لایه های سازند قرمز بالایی در سرتاسر حوضه رسوی شده است. به همین سبب بیرون از حوضه و با دور شدن از مرزهای حوضه، از مقدار شب لایه های آواری پلیوسن کاسته می شود (شکل ۲-الف).

پیرامون حوضه شامل رخنمون هایی از سنگ های دگرگون پر کامبرین سازند کهار و کربنات ها و دولومیت های سازند روت به سن پرمین هستند که با مرزهای گسلی در بخش جنوب باخته حوضه قرار گرفته اند [۱۱]. رخنمون هایی از واحدهای آواری الیگو سن سازند های قرمز زیرین و آهک های الیگو سن - میوسن سازند قم نیز در دو طرف بخش جنوبی حوضه دیده می شود (شکل ۱). این توالی رسوی سنوزوئیک (الیگو سن تا پلیوسن - کواترنری) که رخنمون های غالب منطقه را تشکیل می دهد، نشانگر چند رخداد پس روی دریا، خشکی زایی و ایجاد سطوح ناپیوستگی است که با کنگلومراهای پیشوی دریایی الیگو سن با یک سطح ناپیوستگی و تناوب گدازه ها و آذر آواری های ناشی از فعالیت های گسترده آتش فشانی ائوسن تا اواخر الیگو سن با یک سطح ناپیوستگی و کنگلومراهای پیشوی دریایی الیگو سن پایانی، پی سازند قرمز زیرین پوشیده شده اند و با افزایش عمق حوضه مارن های خاکستری الیگو سن پایانی و آهک های الیگو سن - میوسن سازند قم بر روی آنها شکل گرفته اند. پس از آن پس روی دریا سبب شد تا



شکل (۲): نمای رو به شمال از گسله فشارشی مرز خاوری (الف) و باخته (ب) حوضه ماهنشان - میانه. خمیدگی و اندیگی لایه های جوان پلیوسن - کواترنری (PI-Q) در فروودیواره گسله های مرزی و راندگی لایه های کهن تر به سن میوسن سازند قرمز بالای (MURF) در تصویر مشخص است.

دگریختی در نهشته‌های آواری جوانتر (پلیوسن)، که با یک مرز ناپیوسته لایه‌های چین خورده میوسن را می‌پوشاند، وجود ندارد و بنابراین، برای رخداد این گامه از چین خوردگی، سن پیش از پلیوسن پیشنهاد می‌شود. راستای عمومی این گامه، هم راستا با مرزهای خاوری و باختり حوضه، شمال باخترا- جنوب خاور است (شکل ۱).

وجود لایه‌های تبخیری بخش زیرین سازند قرمز بالای نقش اساسی در کنترل سازوکار جدایشی و تشکیل چین خم گسله در این گامه چین خوردگی داشته است [۲۹، ۳۳]. بنا بر یافته‌های باقثنژاد و همکاران در سال ۱۳۹۳، چین‌های گامه اول بیشتر شامل مجموعه‌ای از طاقدیس‌ها و ناویدیس‌های نامتقارن عادی تا برگشته با سطوح محوری پرشیب هستند (شکل ۳).

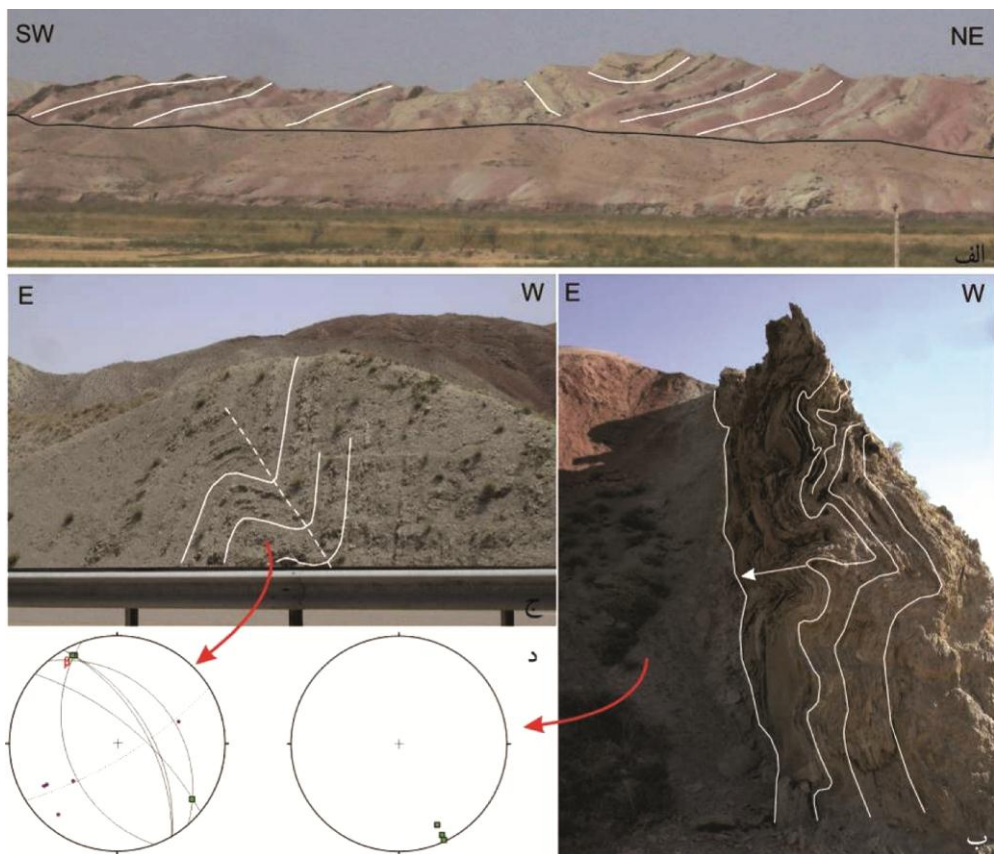
۳- ساختارهای درون حوضه

۳-۱- چین خوردگی

به سبب اختلاف رنگ شاخص در تناوب سنگی سازند قرمز بالایی، الگوی چین خوردگی گستره حوضه ماهنشان به زیبایی در تصویرهای ماهواره‌ای دیده می‌شود. بررسی تصویرهای ماهواره‌ای و برداشت‌های میدانی وجود دو گامه چین خوردگی را در این حوضه نشان می‌دهد.

۳-۱-۱- گامه اول چین خوردگی

این چین خوردگی‌ها که در ارتباط با گسلش‌های راندگی و از نوع چین‌های خم گسل و چین‌های جدایشی [۳۳] هستند، در واحدهای سنگی میوسن و کهن‌تر از آن دیده می‌شوند که در این پژوهش «چین‌های گامه اول» نامیده می‌شوند. شواهد این



شکل (۳): (الف) نمایی از یک ناویدیس گامه اول در سازند قرمز بالایی (URF). (ب) نمای رو به جنوب از چین‌های جدایشی ۱ گامه اول در لایه‌های ژیپس سازند قرمز بالایی. (ج و د) چین‌های پارازیتی واقع در پهلوی چین‌های گامه اول و شبکه استریوگرافیک مربوطه. مریع‌های سیز محور چین (در شبکه استریوگرافیک سمت راست)، نقاط بنفس قطب لایه‌بندی (در شبکه استریوگرافیک سمت چپ) و دوایر بزرگ لایه‌بندی را برای لایه‌های ژیپس (ج) و مارن (د) نشان می‌دهند.

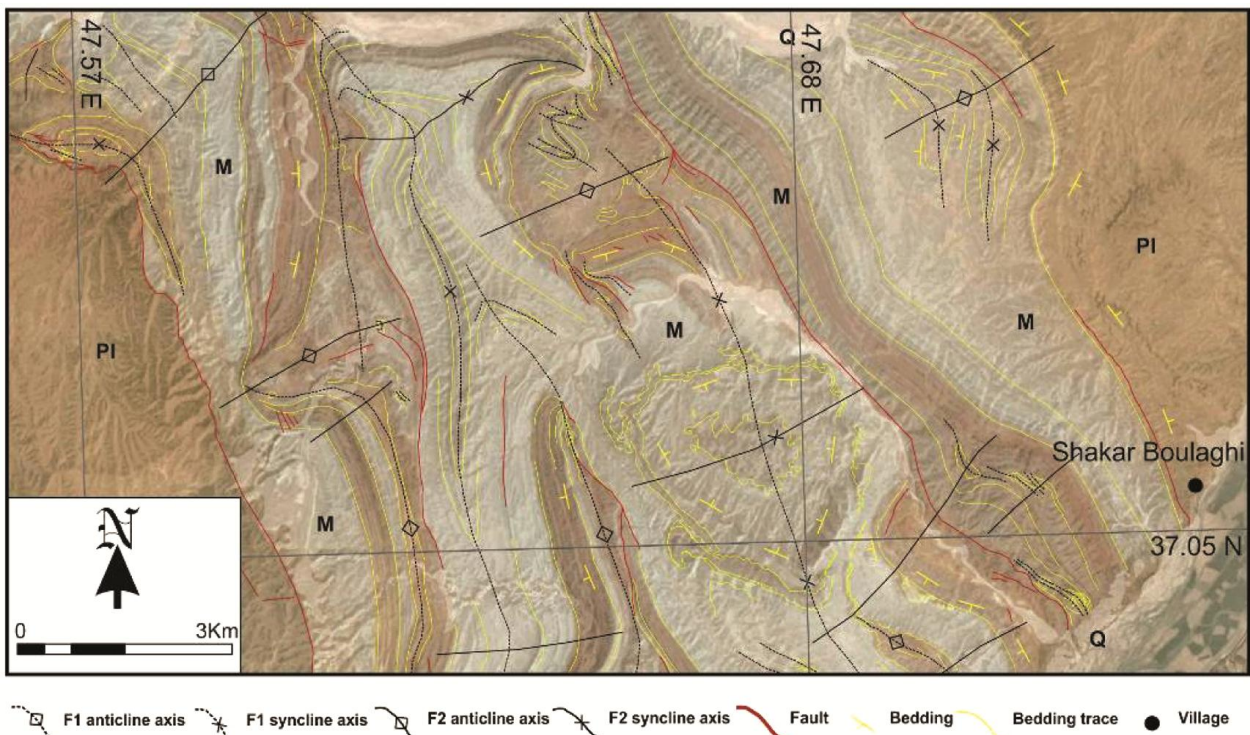
دیگری با روند محوی شمال خاور-جنوب باختر تا شمال-شمال خاور، جنوب-جنوب باختر است. از آنجا که این گامه واحدهای جوان پلیوسن را نیز در بخش‌های مرزی گستره حوضه ماهنشان-میانه متأثر کرده است (شکل‌های ۴ و ۵)، رخداد آن را می‌توان به پس از پلیوسن نسبت داد.

بررسی تغییر راستای اثر محوری چین‌های گامه اول و راستای لایه‌بندی در بخش‌های میانی و شمالی حوضه ماهنشان-میانه، شواهد الگوی تداخلی حوضه^۲ و گند^۳ و بومرنگی^۴ چین خوردگی فرانهاده^۵ را به زیبایی نشان می‌دهد (شکل‌های ۴ و ۵). الگوی تداخلی حوضه و گند به ویژه در بخش میانی حوضه ماهنشان-میانه، در فاصله پنج کیلومتری باختر روستای شکر بلاغی، دیده می‌شود؛ یک حوضه با ساختار گرد که جهت شیب لایه‌بندی‌های پیرامون آن رو به درون حوضه است. در شمال این ساختار، یک گند در تقاطع اثر محوری طاقدیس‌های دو گامه اول و دوم

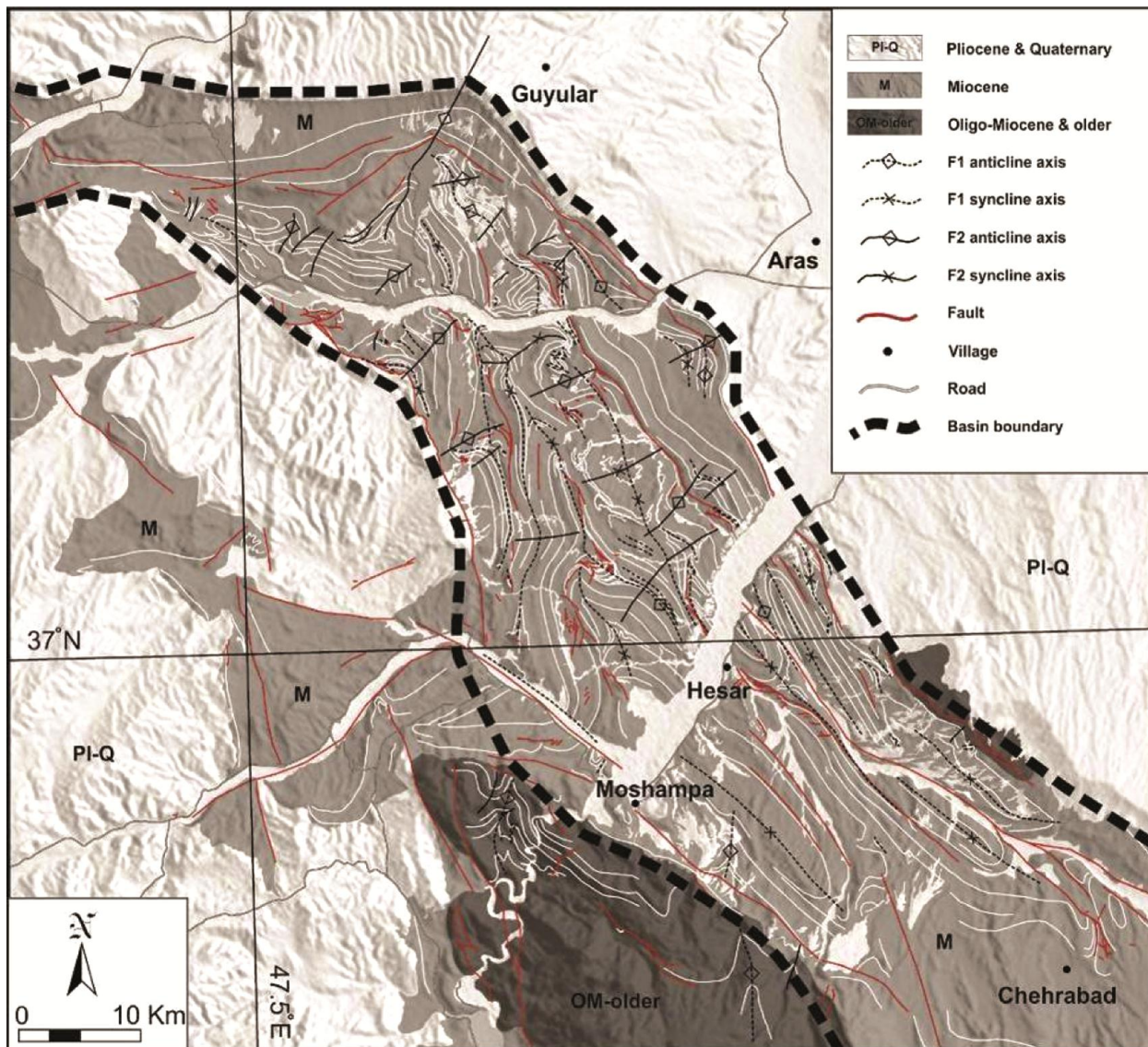
به سبب فرسایش زیاد منطقه و نیز تأثیر گسله‌ها، بخش هسته طاقدیس‌ها با لایه‌بندی بسیار پرشیب در سطح رخمنون یافته‌اند. لغزش‌های میان لایه‌ای ناشی از حضور لایه‌های تبخیری سبب تشکیل چین‌های پارازیتی در پهلو و هسته چین‌های گامه اول شده است که به ویژه در هسته چین‌های اصلی، در تصویرهای ماهواره‌ای قابل تشخیص است. چین‌های پارازیتی اندازه‌گیری شده در پهلوی چین‌های اصلی روند محوری همانند چین‌های بزرگ مقیاس منطقه دارند (شکل ۳).

۲-۱-۳- گامه دوم چین خوردگی

الگوی اثر محوری چین‌های گامه اول در بخش جنوبی گستره ساده‌تر از بخش‌های دیگر است (شکل ۱). در میانه حوضه به تدریج تغییری در روند محور چین‌ها دیده می‌شود. بررسی دقیق‌تر این تغییر روندها الگوی سامانمندی را در این پنهان آشکار می‌کند که نشان‌دهنده‌ی وجود گامه چین خوردگی



شکل (۴): تصویر ماهواره‌ای گویا شده Google Earth از بخش میانی حوضه رسوی سوزوئیک ماهنشان (موقعیت تصویر بر روی شکل (۱) مشخص شده است). الگوهای تداخلی گونه ۱ و ۲ بر روی تصویر دیده می‌شود. برای توضیح بیشتر به متن مراجعه شود.



شکل (۵): نقشه ساختارهای حوضه رسوی ماهنشان- میانه، ترسیم شده بر پایه تصویرهای ماهواره‌ای Google Earth. اثر محوری چین‌های گامه اول و دوم بر روی نقشه مشخص شده است.

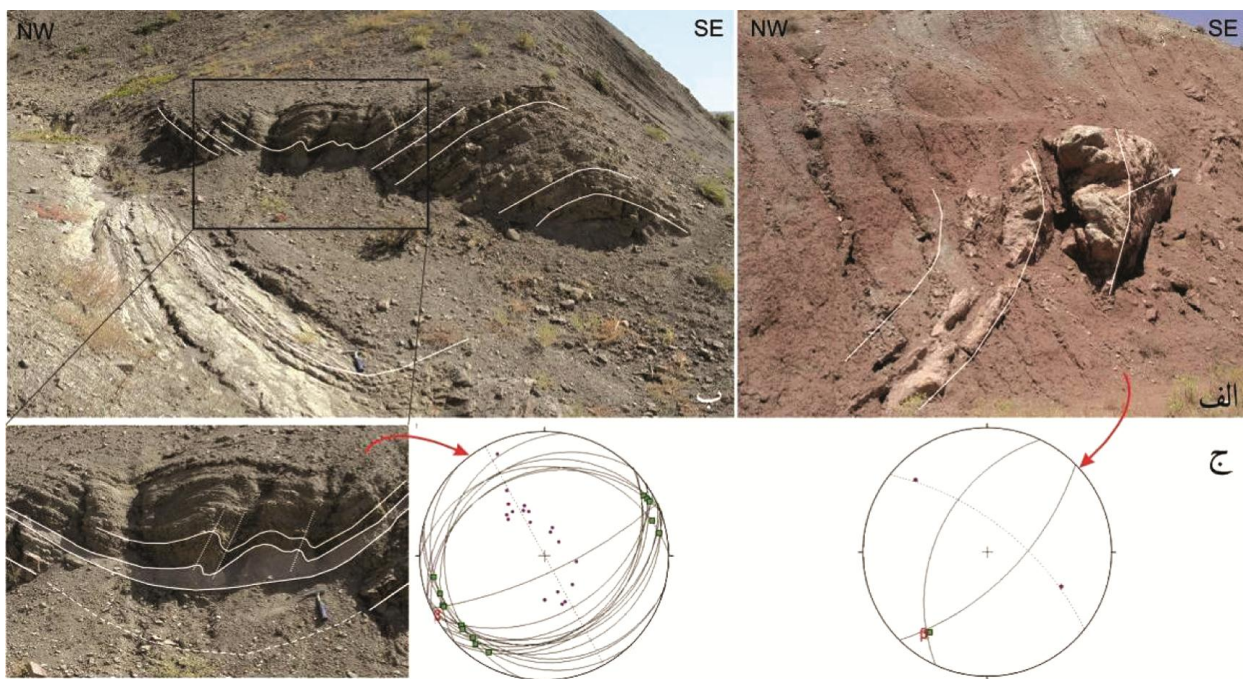
دارند. همانند چین‌های گامه اول، لایه‌های نامقاوم مارنی و تبخیری‌ها نقش کنترل کننده‌ای در توزیع و هندسه این چین‌ها دارند (شکل ۶).

تشکیل شده است. الگوی تداخلی بومرنگی در بخش‌هایی که سطح محوری چین‌های گامه اول مایل هستند در محل برخورد اثر محوری دو گامه چین‌ها دیده می‌شود (شکل‌های ۴ و ۵).

۲-۳- گسله‌ها

بررسی تصویرهای ماهواره‌ای و شواهد میدانی در راستای این پژوهش نشان می‌دهد که مرزهای خاوری و باختری حوضه رسوی ماهنشان- میانه گسلی هستند. این گسله‌ها در بخش‌های

از شواهد دیگر گامه دوم، چین‌های فرعی هستند که در حدود سه کیلومتری باختراستای دادلی در ترانشه‌های اتوبان زنجان- تبریز دیده می‌شوند. این چین‌ها سطح محوری قائم تا پر شیب و روند محوری شمال خاور موازی چین‌های گامه دوم (شکل‌های ۴ و ۵).



شکل (۶): چین‌های پارازیتی گامه دوم چین‌خوردگی به همراه شبکه استریوگرافیکی مربوطه. مربع‌های سبز محور چین، نقاط بنفش قطب لایه‌بندی و دوایر بزرگ لایه‌بندی را نشان می‌دهند. (الف) چین مزوسکوپی با پهلوی جنوب خاوری برگشته. فلاش سفید رنگ به موازات محور چین رسم شده است. (ب) چین‌های مزوسکوپی متقابله با سطح محوری شاقولی. دیزچین‌های نامتقارن در بخش هسته چین به سبب حضور لایه‌های نامقاوم مارنی تشکیل شده‌اند.

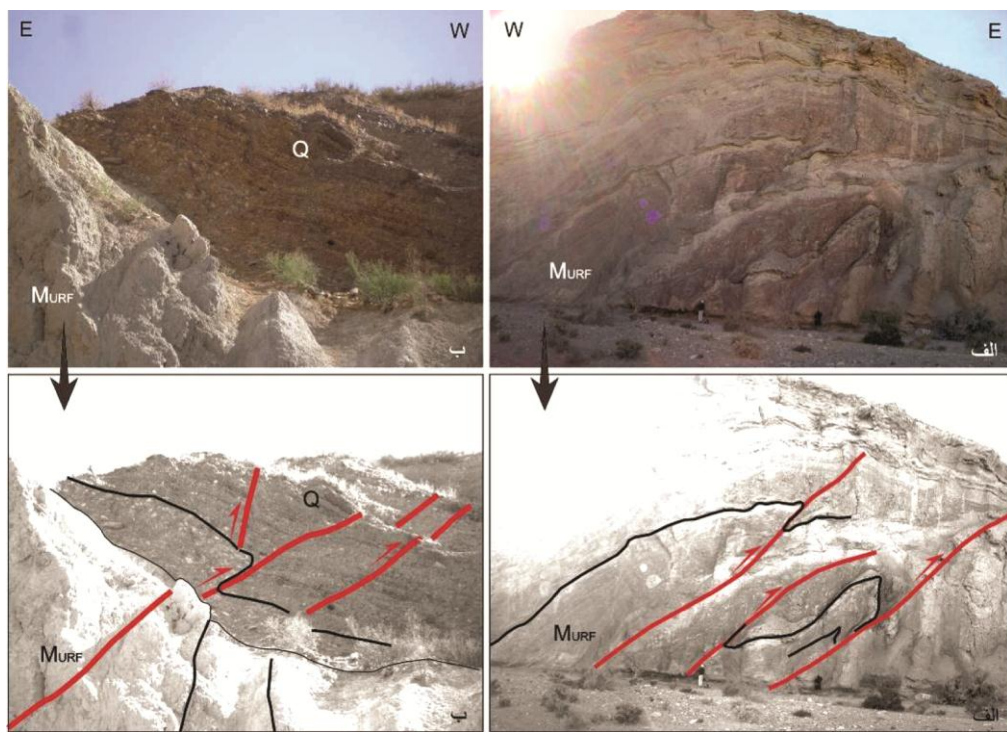
افرون بر گسله‌های مرزی و گسله‌های اصلی درون حوضه ماهنشان - میانه که همگی راستایی موازی چین‌های گامه اول و مرزهای حوضه دارند، گسله‌های فرعی با فراوانی و طول کمتر و راستای خاوری - باختری تا شمال خاور - جنوب باختر نیز در گستره حوضه دیده می‌شوند (شکل ۵). با توجه به سازوکار عمومی راستالغاز این دسته از گسله‌ها و همخوانی راستای آنها با اثر محوری چین‌های گامه دوم، احتمال می‌رود تشکیل آنها در ارتباط با شکستگی‌های هم‌یوغ^۷ ناشی از افزایش کوتاه‌شدگی در پهلوی چین‌های گامه دوم باشد.

۴- وارون‌سازی داده‌های جنبشی گسله‌ها

برای درک بهتر تکوین دگربرختی گستره مورد بررسی علاوه بر تحلیل ساختارها، از وارون‌سازی داده‌های جنبشی گسله‌ها نیز استفاده شده است. لازم است خاطر نشان شود که به دلیل سنگ‌شناسی نامناسب منطقه، سطوح گسله‌های ایجاد شده

مختلف پرشیب تا شاقولی با شیب رو به درون حوضه هستند و با راندن واحدهای سنگی به سن میوسن سازند قرمز بالایی بر روی کنگلومرای پلیوسن، سبب خمش این واحدهای آواری در فرویدیواره گسله شده‌اند (شکل ۲).

گسله‌های اصلی درون این حوضه نیز کم ویش هم راستا با گسله‌های مرزی آن هستند (شکل ۵). این گسله‌ها که طول بیش از ۱۰ کیلومتر دارند در ابتدا از نوع فشاری و مسبب تشکیل چین‌های پیشوای گسله (شکل ۷) و چین‌های جداشی رخداد گامه اول چین‌خوردگی‌ها در لایه‌های سازند سرخ بالایی، در اوخر میوسن بوده‌اند [۳۳]. شیب این گسله‌ها در بخش‌های مختلف گستره حوضه ماهنشان - میانه از شمال خاور تا شاقولی و جنوب باختر تغییر می‌کند. بررسی‌های میدانی حاضر، آثار چندین نسل لغزش جوان‌تر را نیز در این پهنه‌های گسلی نشان می‌دهد. بعضی از این گسله‌ها با سازوکار واژگون^۸ پادگانه‌های رودخانه‌ای و مخروط افکنه‌های کواترنری را بریده‌اند (شکل ۷-ب).



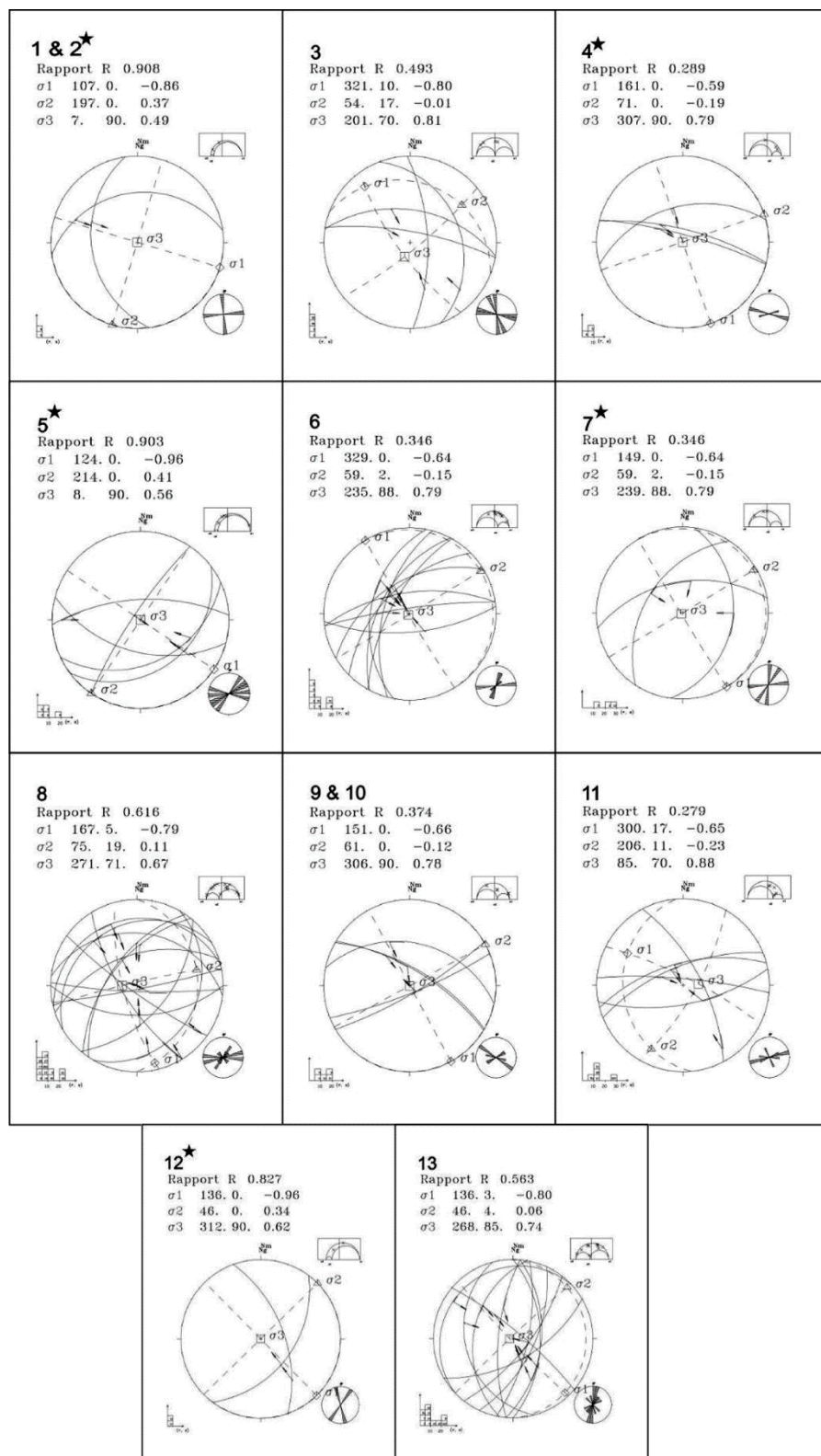
شکل (۷): (الف) نمای رو به شمال از پهنه گسله فشارشی و چین‌های پیشروی گسله با راستای شمال باخترا-جنوب در لایه‌های سازند قرمز بالایی (MURF) داخل حوضه رسوی ماهنشان-میانه. (ب) نمای رو به جنوب از گسلش فشارشی در نهشته‌های آواری کواترنری (Q) در داخل حوضه رسوی ماهنشان-میانه. خط‌های قرمز گسله‌ها و خط‌های سیاه اثر لایه‌بندی در واحدهای رسوی را نشان می‌دهد.

در ایستگاه‌های مختلف مقایسه شدند.

بر این اساس، ابتدا جوانترین دسته داده‌ی گستره پردازش شد [۱۱] که نتایج آن نشانگر یک رژیم تنفس امروزی همگن با راستای بیشینه فشارش افقی شمال خاور-جنوب باخترا (N049~) است. این وضعیت تنفس در هم‌خوانی با تنفس ناحیه‌ای متأثر از همگرایی عربستان-اوراسیا است [برای نمونه ۲-۳، ۱۵-۱۷، ۱۹، ۲۲-۲۵]. شواهد تنفس دیرین نیز، کارسازی یک فشارش شمال باختری را نشان می‌دهد که به طور کامل با چین‌های گامه‌ی دوم هم‌خوان است. شواهد این رژیم تنفس فشارشی دیرین در ۱۳ ایستگاه به دست آمد (شکل‌های ۸ و ۹) (جدول ۱). برای ارزیابی کیفیت نتایج، از هم‌خوانی سازوکار گسله‌ها با شکل میدان تنفس [۳۵]، زاویه ناهمخوانی بردار لغزش اندازه‌گیری شده و محاسبه شده، هم‌خوانی مکانیکی تانسور به دست آمد و با داده‌های اندازه‌گیری شده و دستیابی به یک محور تنفس اندرسونی استفاده شده است. نتایج نهایی که در جدول (۱) و شکل (۸) آورده شده است، تصویر استریو

در آنها به سرعت فرسوده شده و به ندرت آثار حرکتی و بهویژه سوی برش آنها حفظ شده است. از این رو، داده‌های اندازه‌گیری شده در هر ایستگاه، پس از تلاش بسیار، کمتر از حد مورد انتظار بوده است. به‌حال داده‌های ارائه شده، انگشت‌شمار داده‌هایی است که در این منطقه اندازه‌گیری شده است. برداشت داده‌های گسلی (صفحه گسله و خشن‌لغز روی آن) در ۲۵ ایستگاه انجام شد. در بیشتر ایستگاه‌ها، به سبب فرسایش کامل واحدهای جوان پلیوسن-کواترنری، شواهد گسلش تنها در واحدهای سنگی سازند قرمز بالایی قابل مشاهده است.

داده‌های برداشت شده با کمک نرم‌افزار Fcalc [۳۴] پردازش شدند. ابتدا داده‌های هر ایستگاه با توجه به سن واحدهای سنگی بریده شده در پهنه گسله، رابطه هم‌پوشی خشن‌لغزش‌ها (برای صفحه‌های گسله با بیش از یک نسل لغزش)، وضعیت لایه‌بندی و توالی رخدادهای دگریختی گستره، از نظر سنی جداسازی شدند. پس از پردازش جداگانه‌ی دسته داده‌ها، نتایج به دست آمده



شکل (۸): نتایج رذیح تنش فشارشی به دست آمده از وارون سازی داده های سطوح گسله خش لغزدار در ۱۳ ایستگاه (محل ایستگاه ها بر روی نقشه شکل (۹) آمده است). نتایج شامل استریو گرام نیمکره پایینی سطوح گسله خش لغزدار، موقعیت محورهای اصلی تنش، شکل میدان تنش (R) و هیستو گرام توزیع زاویه ناهمخوانی بردار لغزش اندازه گیری شده و محاسبه شده است. تنش های مقید شده (CF) با ستاره مشخص شده اند (به [۳۶] رجوع شود). اعداد ۱ تا ۱۳ نشان دهنده شماره ایستگاه هایی که در جدول (۱) و شکل (۹) آورده شده است. برای توضیحات بیشتر به متن رجوع شود.

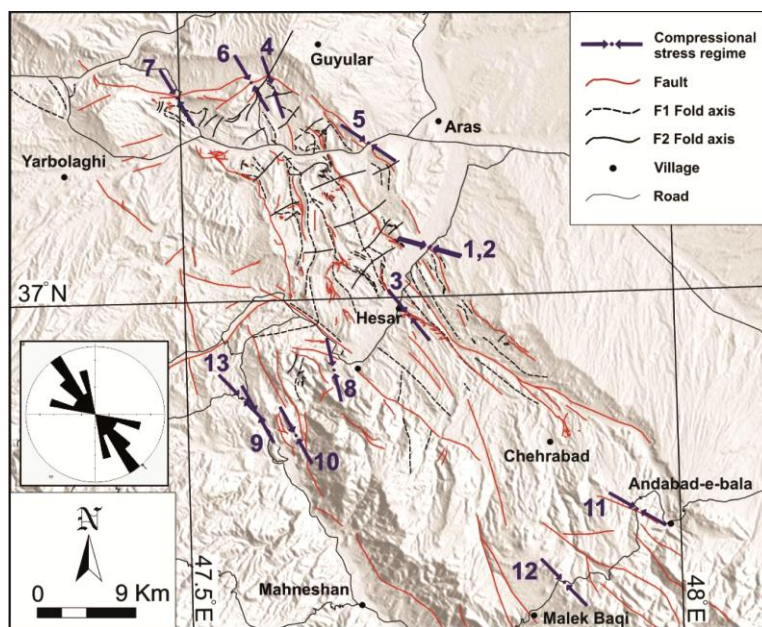
تنش دیرین به دست آمده در گستره حوضه رسوی ماهنشان-میانه، در تمام ایستگاه‌ها فشارشی، با راستای میانگین محور بیشینه فشارش افقی N138 (با زوایه نوسان‌های محلی N106 تا N167) و میانگین شکل میدان تنش (۵۳/۰٪) است. سن واحدهای سنگی در یکی از ایستگاه‌هایی که شواهد این نسل از تنش دیرین را نشان می‌دهند (ایستگاه شماره ۱۲) پلیوسن و در دو مورد (ایستگاه‌های ۱۱ و ۱۲) کواترنری است.

گرافیک صفحه‌های گسله و خشن لغزش آنها در نیمکره زیرین، موقعیت محورهای اصلی تنش، نمودار موهر برای تنش سه محوره‌ی پیشنهادی، شکل میدان تنش (R)، نمودار توزیع زاویه ناهمخوانی بردار لغزش اندازه‌گیری شده و محاسبه شده و نمودار گل‌سرخی راستای صفحه‌های گسلی پردازش شده را نشان می‌دهد.

همان‌طور که نتایج نشان می‌دهند (جدول ۱ و شکل ۹) رژیم

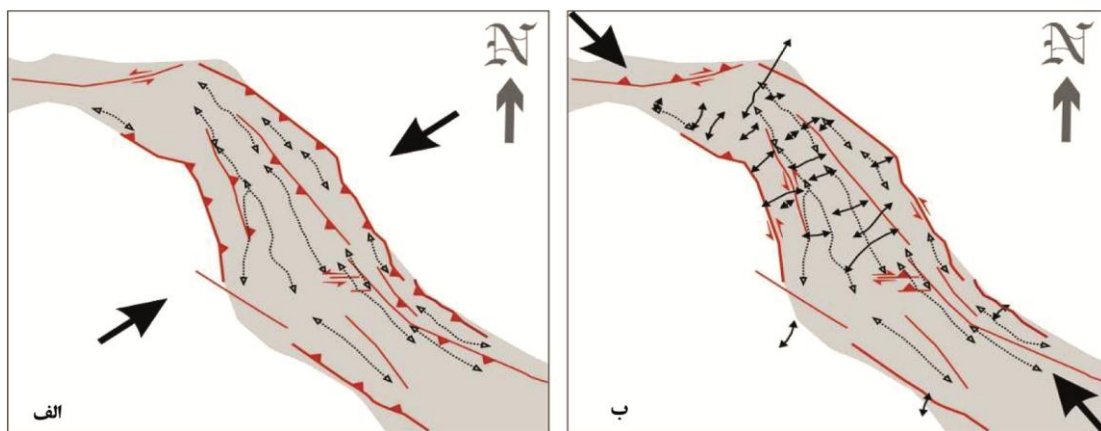
جدول (۱): ویژگی‌های تانسور تنش دیرین به دست آمده از وارون‌سازی گسلهای جنسی داده‌ها شامل شماره ایستگاه، روند و میل محورهای اصلی تنش (۱ تا ۱۳)، شکل میدان تنش (R)، تعداد داده‌های گسلی پردازش شده در هر ایستگاه (N)، تعداد کل داده‌ها در هر ایستگاه (Nt)، کیفیت تانسور (Q: حرف A تا C به ترتیب معروف کیفیت خوب تا ضعیف برای تحلیل تنش در هر سایت و CF معرف تانسورهای محاسبه شده با کمتر از چهار راستای گسلی است که با یک محور تنش شاقولی مقید شده است (به ۳۶ [رجوع کنید]), رژیم تنش (Rm) به دست آمده در هر ایستگاه (C: رژیم فشارشی، S: رژیم راستالغز) و سن چینه‌شناختی لایه‌های رخنمون بافتne در هر ایستگاه است.

Formation Age	Modern Stress Axis (trend/plunge)								Site Number
	Rm	Q	N _t	N	R	σ ₃	σ ₂	σ ₁	
Miocene	C	CF	23	2	0.81	007/90	197/00	107/00	1
Quaternary	C	CF	23	2	0.81	007/90	197/00	107/00	2
Miocene	C	C	46	4	0.49	201/70	054/17	321/10	3
Miocene	C	CF	6	3	0.29	307/90	071/00	161/00	4
Miocene	C	CF	28	5	0.90	008/90	214/00	124/00	5
Miocene	C	A	9	9	0.35	235/88	059/02	329/00	6
Miocene	C	CF	4	3	0.35	239/88	059/02	149/00	7
Miocene	C	B	33	13	0.62	271/71	075/19	167/05	8
Miocene	C	C	6	5	0.38	306/90	061/00	151/00	9
Miocene	C	C	5	5	0.37	306/90	061/00	151/00	10
Quaternary	C	B	63	5	0.28	085/70	206/11	300/17	11
Pliocene	C	CF	13	2	0.83	312/90	046/00	136/00	12
Miocene	C	A	28	11	0.56	268/85	046/04	136/03	13



شکل (۹): نقشه راستای محور تنش بیشینه افقی (محور فشارش) دیرین حاکم در پلیوسن - کواترنری، به همراه نمودار گل‌سرخی راستای تنش بیشینه افقی (به جدول (۱) و شکل (۸) رجوع شود).

این چین خوردگی که با راستای محوری شمال خاور-جنوب باختر مشخص است، واحدهای پلیوسن و کهن‌تر را متاثر کرده است. از سوی دیگر، وارون‌سازی داده‌های جنبشی گسله‌ها نیز تنش دیرین پلیوسن-کواترنری گستره ماهنشان-میانه را فشارشی با راستای محور تنش بیشینه افقی شمال باختر-جنوب خاور (میانگین N138) نشان می‌دهد (شکل ۹). این راستا با نتایج تحلیل تنش دیرین در پهنه گسله سلطانیه [۱۰] در جنوب خاور سبب تشکیل الگوهای تداخلی گونه ۱ و ۲ شده است (شکل ۱۰-ب). از آنجا که سن واحدهای سنگی در ایستگاه‌هایی که داده‌های جنبشی گسله‌های آنها شواهد تنش فشارشی شمال باختر-جنوب خاور را نشان داده‌اند، در دو مورد کواترنری، در یک مورد پلیوسن و در سایر موارد میوسن بوده است (جدول ۱)، و با توجه به تأثیر گامه دوم چین‌ها بر لایه‌های به سن پلیوسن، این رخداد را می‌توان به پایان پلیوسن-اوایل کواترنری نسبت داد. این تنش، که در این مقاله به آن پرداخته شده است، پیش از تنش امروزی با راستای فشارش شمال خاور-جنوب باختر [۱۱] بر گستره ماهنشان-میانه چیره بوده است.



شکل (۱۰): مدل جنبشی ساده شده حوضه رسوی ماهنشان-میانه. پیکان‌های بزرگ راستای میانگین فشارش حاکم در زمان اواخر میوسن، قبل از ۱۰/۷ میلیون سال (الف) و پلیوسن-کواترنری (ب) را در گستره ماهنشان-میانه نشان می‌دهند. (الف) فشارش شمال خاور ناشی از فاز تکتونیکی اواخر میوسن سبب تشکیل گسله‌های فشاری با راستای شمال باختر-جنوب خاور و چین‌های مرتبط با آن شده است. (ب) تغییر میدان تنش در زمان پلیوسن-کواترنری به تنش بیشینه افقی شمال باختر-جنوب سبب فرا نهاده شدن چین‌های راستای شمال خاور-جنوب باختر بر روی گامه اول چین‌ها و ایجاد الگوهای تداخلی گونه ۱ و ۲ در گستره حوضه ماهنشان-میانه شده است که در این مقاله به آن پرداخته شده است.

۵- بحث

در حوضه رسوی ماهنشان-میانه واحدهای سنگی سازند قرمز بالایی به سن میوسن رخنمون دارند که با چین خوردگی مرتبط با گسله، از نوع چین‌های پیشروی گسله و چین‌های جدایشی، دگربریخت شده‌اند [۳۳]. راستای اثر محوری این چین خوردگی‌ها شمال باختر-جنوب خاور و هم‌راستا با گسله‌های مرزی خاوری و باختری حوضه هستند. از این‌رو، تشکیل آنها را می‌توان ناشی از یک رخداد دگربریختی واحد دانست. سن‌سنگی‌های اخیر [۳۲]، سن بالاترین افق‌های چین خوردگی سازند سرخ بالایی را میوسن میانی (Ma ۱۵.۶±۱.۴) نشان می‌دهد. از آنجا که واحدهای سنگی آواری (بیشتر کنگلوماری) به سن میوسن پایانی (10.7±0.2 Ma) [۳۲] با یک مرز ناپیوستگی زاویه‌دار بر روی لایه‌های سازند قرمز بالایی نشسته‌اند و آثار دگربریختی اشاره شده را نشان نمی‌دهند، رخداد گسلش واژگون و چین خوردگی مرتبط با آن (گامه اول چین خوردگی) را می‌توان ناشی از فشارش شمال خاور-جنوب باختری فازهای اواخر کوهزاد آلپی در زمان میوسن میانی دانست (شکل ۱۰-الف).

بررسی تصویرهای ماهواره‌ای و برداشت‌های میدانی آثار گامه چین خوردگی جوانتری را نیز در این گستره نشان می‌دهد.

5. Shabanian, E., Bellier, O., Abbassi, M., Siame, L., and Farbod, F. (2010) Plio-Quaternary stress states in NE Iran: Kopeh Dagh and Allah Dagh-Binalud mountain ranges. *Tectonophysics*, **480**, 280–304.
6. Javidfakhr, B., Bellier, O., Shabanian, E., Siame, L., Léanni, L., Bourlès, D., and Ahmadian, S. (2011) Fault kinematics and active tectonics at the southeastern boundary of the eastern Alborz (Abr and Khij fault zones): geodynamic implications for NNE Iran. *Journal of Geodynamics*, **52**(3–4), 290–303.
7. Regard, V., Bellier, O., Thomas, J.-C., Abbassi, M.R., Mercier, J., Shabanian, E., Feghhi, K., and Soleymani, S. (2004) Accommodation of Arabia-Eurasia convergence in the Zagros-Makran transfer zone, SE Iran: A transition between collision and subduction through a young deforming system. *Tectonics*, **23**, TC4007.
8. Dolati, A. and Burg, J.P. (2013) 'Preliminary fault analysis and paleostress evolution in the Makran Fold-and-Thrust Belt in Iran'. In: *Lithosphere Dynamics and Sedimentary Basins: The Arabian Plate and Analogues*, Part of the series Frontiers in Earth Sciences, 261–277.
9. Kargaranbafghi, F., Franz Neubauer, F., and Genser, J. (2011) Cenozoic kinematic evolution of southwestern Central Iran: Strain partitioning and accommodation of Arabia–Eurasia convergence. *Tectonophysics*, **502**, 221–243.
10. Salmanlu, A. (2015) *Late Cenozoic Change in the Stress State of the Zanjan Region; Implications for the Geodynamics of NW Iran*. B.Sc. Thesis, Bu-Ali Sina University, Hamedan, Iran, 193 p (in Persian).
11. Aflaki, M., Shabanian, E., Dvoodi, Z. (2016) Quaternary stress state in Mahneshan-Mianeh Cenozoic sedimentary basin (NW Iran), deduced from fault kinematics data. 34th Geosciences congress, *Geological Society of Iran*, Tehran (in Persian).
12. Ghods, A., Shabanian, E., Bergman, E., Faridi, M., Donner, S., Mortezanejad, G., and Aziz-Zanjani, A. (2015) The Varzghan–Ahar, Iran, Earthquake Doublet (Mw 6.4, 6.2): implications for the

۶- نتیجه‌گیری

بررسی الگو و هندسه چین خوردگی‌ها به کمک تصویرهای ماهواره‌ای و برداشت‌های میدانی نشان داد که علاوه بر چین‌های مرتبط با گسله که در اوخر میوسن در حوضه رسوی ماهنشان–میانه توسعه یافته‌اند [۳۳]، گامه چین خوردگی جوان تری نیز با راستای شمال‌خاور–جنوب‌باخته در بازه زمانی پلیوسن تا کواترنری بر روی آنها فرانهاده شده است. برداشت ویژگی‌های هندسی و جنبشی گسله‌ها و اروپون‌سازی داده‌های جنبشی آنها در راستای این پژوهش، گویای وجود یک رژیم فشارشی دیرین با راستای محور بیشینه فشارش افقی شمال‌باخته–جنوب‌خاور (میانگین N138E) است که در بازه زمانی پلیوسن–کواترنری و پیش از سامانه تنش امروزی، با راستای شمال‌خاور–جنوب‌باخته [۱۰] در حوضه رسوی ماهنشان–میانه چیره بوده است. جالب این که نمونه چین تغییر تنشی بال الگو و بازه سنی همانند از شمال خاور ایران (کپه‌داغ) تا شمال ایران (البرز) گزارش شده است

[۳۹–۳۷، ۶–۵]

مراجع

1. Authemayou, C., Chardon, D., Bellier, O., Malekzadeh, Z., Shabanian, E. and Abbasi, M.R. (2006) Late Cenozoic partitioning of oblique plate convergence in the Zagros fold-and-thrust belt (Iran). *Tectonics*, **25**, TC3002.
2. Navabpour, P., Angelier, J., and Barrier, E. (2007) Cenozoic post-collisional brittle tectonic history and stress reorientation in the High Zagros Belt (Iran, Fars Province). *Tectonophysics*, **432**, 101–131.
3. Navabpour, P., Angelier, J., and Barrier, E. (2011) Brittle tectonic reconstruction of palaeo-extension inherited from mesozoic rifting in west Zagros (Kermanshah, Iran). *Journal of Geological Society, London*, **168**, 979–994.
4. Zanchi, A., Berra, F., Mattei, M., Ghassemi, M.R., and Sabouri, J. (2006) Inversion tectonics in central Alborz, Iran. *Journal of Structural Geology*, **28**, 2023–2037.

- F., Guliev, I., Stepanyan, R., Nadariya, M., Hahubia, G., Mahmoud, S., Sakr, K., ArRajehi, A., Paradissis, D., Al-Aydrus, A., Prilepin, M., Guseva, T., Evren, E., Dmitrotsa, A., Filikov S.V., Gomez, F., Al-Ghazzi, R. and Karam, G. (2006) GPS constraints on continental deformation in the Africa-Arabia-Eurasia continental collision zone and implications for the dynamics of plate interactions. *Journal of Geophysical Research*, **111**, B05411.
20. Regard, V., Hatzfeld, D., Molinaro, M., Aubourg, C., Bayer, R., Bellier, O., Yamini-Fard, F., Peyret, M., and Abbasi, M. (2009) The transition between Makran subduction and the Zagros collision: recent advances in its structure and active deformation. *Geological Society, London, Special Publications*, **330**, 43-64.
21. Vernant, P. and Chery, J. (2006) Low fault friction in Iran implies localized deformation for the Arabia-Eurasia collision zone. *Earth and Planetary Science Letters*, **246**, 197–206.
22. Djamour, Y., Vernant, P., Nankali, H.R., and Tavakoli, F. (2011) NW Iran-eastern Turkey present-day Kinematics: Results from the Iranian permanent GPS network. *Earth and Planetary Science Letters*, **307**, 27-34.
23. Mousavi, Z., Walpersdorf, A., Walkerc, R.T., Tavakoli, F., Pathier, E., Nankali, H., Nilforoushan, F., and Djamour, Y. (2013) Global Positioning System constraints on the active tectonics of NE Iran and the South Caspian region. *Earth and Planetary Science Letters*, 287-298.
24. Zarifi, Z., Nilforoushan, F., and Raeesi, M. (2014) Crustal Stress Map of Iran: Insight from Seismic and Geodetic Computations. *Pure and Applied Geophysics*, **171**, 1219-1236.
25. Masson, F., Lehujeur, M., Ziegler, Y., and Doubre, C. (2014) Strain rate tensor in Iran from a new GPS velocity field. *Geophysical Journal International*, doi: 10.1093/gji/ggt509.
26. Allen, M.B., Ghassemi, M.R., Shahrabi, M., and Qorashi, M. (2003) Accommodation of late geodynamics of northwest Iran. *Geophysical Journal International*, **203**, 522-540.
13. Azad, S.S., Ritz, J.F., and Abbassi, M.R. (2011) Left-lateral active deformation along the Mosha-North Tehran fault system (Iran): Morphotectonics and paleoseismological investigations. *Tectonophysics*, **497**(1), 1-14.
14. Azad, S.S., Philip, H., Dominguez, S., Hessami, K., Shahpasandzadeh, M., Foroutan, M., Tabassi, H., and Lamothe, M. (2015) Paleoseismological and morphological evidence of slip rate variations along the North Tabriz fault (NW Iran). *Tectonophysics*, **640**, 20-38.
15. Nilforoushan, F., Masson, F., Vernant, P., Vigny, C., Martinod, J., Abbassi, M., Nankali, H., Hatzfeld, D., Bayer, R., Tavakoli, F., Ashtiani, A., Doerflinger, E., Daignieres, M., Collard, P., and Chery, J. (2003) GPS network monitors the Arabia-Eurasia collision deformation in Iran. *Journal of Geodesy*, **77**, 411–422.
16. Vernant, P., Nilforoushan, F., Hatzfeld, D., Abbassi, M.R., Vigny, C., Masson, F., Nankali, H., Martinod, J., Ashtiani, A., Bayer, R., Tavakoli, F., and Chéry, J. (2004) Present-day crustal deformation and plate kinematics in the Middle East constrained by GPS measurements in Iran and northern Oman. *Geophys. J. Int.*, **157**, 381–398.
17. Masson, F., Djamour, Y., Van Gorp, S., Chéry, J., Tatar, M., Tavakoli, F., Nankali, H., and Vernant, P. (2006) Extension in NW Iran driven by the motion of the South Caspian Basin. *Earth and Planetary Science Letters*, **252**, 180–188.
18. Regard, V., Bellier, O., Thomas, J.-C., Bourlès, D., Bonnet, S., Abbassi, M.R., Braucher, R., Mercier, J., Shabanian, E., Soleymani, Sh., and Feghhi, Kh. (2005) Cumulative right-lateral fault slip rate across the Zagros-Makran transfer zone: role of the Minab-Zendan fault system in accommodating Arabia-Eurasia convergence in southeast Iran. *Geophys. J. Int.*, **162**, 177–203.
19. Reilinger, R., McClusky, S., Vernant, P., Lawrence, S., Ergintav, S., Cakmak, R., Ozener, H., Kadirov,

- uncritical use of inverse methods. *Bull. Soc. Geol. France*, **164**, 519-531.
36. Bellier, O. and Zoback, M.L. (1995) Recent state of stress change in the Walker Lane zone, western Basin and Range province, United States. *Tectonics*, **14**, 564–593.
37. Abbasi, M.R. and Shabanian, E. (1999) Evolution of the stress field in Tehran region during the quaternary. *Proceeding of Third International Conference on Seismology and Earthquake Engineering (SEE-3)*, 67-84.
38. Abbasi, M.R. and Shabanian, E. (2005) Determination of stress state and direction by inversion of fault-slip data in the southern flank of Central Alborz. *Geosciences*, **55**, 2-18 (in Persian).
39. Abbassi, M.R., Mokhtari, H. (2016) Investigation of Morphological Features and Faulting Mechanisms of NW-Striking Faults Affecting Alluvial Deposits in Tehran's Piedmont. *Bulletin of Earthquake Science and Engineering*, **3**(1), 1-15.
40. Ritz, J., Nazari, H., Ghassemi, A., Salamat, R., Shafei, A., Solaymani, S., and Vernant, P. (2006) Active transtension inside central Alborz: A new insight into northern Iran-southern Caspian geodynamics. *Geology*, **34**, 477–480.
41. Westaway, R. (1994) Present-day kinematics of the Middle East and eastern Mediterranean. *J. Geophys. Res.*, **99**(B6), 12071–12090.
42. Afshar, F.A. (1965) Geology of Mianeh district of Northwestern Iran. *Bull. Min. Res. Expl. Inst. Turkey*, **64**, 57-72.
43. Emami, M.H. (1990) Geological map of Mianeh quadrangle. *Geological Survey of Iran*, Tehran, scale 1:100,000.
44. Lotfi, M. (2001) Geological map of Mahneshan quadrangle. *Geological Survey of Iran*, Tehran, scale 1:100,000.
45. Ballato, P., Cifelli, F., Heidarzadeh, G., Ghassemi, M.R., Wickert, A.D., Hassanzadeh, J., Dupont-Nivet, G., Balling, P., Sudo, M., Zeilinger, G., Schmitt, A.K., Mattei, M., and Strecker, M.R. (2017) Tectono-sedimentary evolution of the northern Iranian Plateau: insights from middle-late Miocene foreland-basin deposits. *Basin Res.*, **29**(4), 417–446, doi:10.1111/bre.12180.
46. Baghernejad, M., Ghassemi, M.R., and Oveisi, B. (2014) Detachment folding in Mianeh-Mahneshan area: Interaction between sedimentation in the Upper Red Formation basin and shortening. *Geosciences*, **24**(95), 169-180.
47. Carey-Gailhardis, E. and Mercier, J.L. (1987) A numerical method for determining the state of stress using focal mechanisms of earthquake populations: Application to Tibetan teleseisms and icroseismicity of southern Peru. *Earth Planet. Sci. Lett.*, **82**(1), 165-179.
48. Ritz, J.F. and Taboada, A. (1993) Revolution stress ellipsoids in brittle tectonics resulting from an

واژه‌نامه

Detachment Folds	۱- چین‌های جداشی
Basin	۲- حوضه
Dome	۳- گند
Boomerange	۴- بومنگ
Superimposed Folding	۵- چین خوردگی فرازهاده
Reverse	۶- واژگون
Conjugate	۷- هم‌یوغ

Signatures of Deformation Related to the Plio-Quaternary State of Stress in the Mahneshan–Mianeh Basin (NW Iran)

Mahtab Aflaki^{1*}, Esmaeil Shabanian², Zeinab Davoodi³

1. Assistant Professor, Department of Earth Sciences, Institute for Advanced Studies in Basic Sciences, Zanjan.

*Corresponding Author, e-mail: aflaki@iasbs.ac.ir

2. Assistant Professor, Department of Earth Sciences, Institute for Advanced Studies in Basic Sciences, Zanjan.

3. Assistant Professor, Department of Geology, Imam Khomeini International University, Qazvin.

Since the last two decades, the inversion of fault kinematics combined with geodetic and geophysical data has led to the better understanding of the geodynamics of the Arabia – Eurasia collision, as well as the tectonic history of Iran. These researches indicate that dynamics of ongoing deformation in the most parts of the Iranian plateau and surrounding deformation belts is controlled by the NNE- to NE-trending Arabia – Eurasia convergence. This general pattern of deformation has been affected by local- and regional-scale geodynamic elements (e.g., the rigid South Caspian Basin, Persian and Anatolian extruding blocks) producing complex stress and strain fields in distinct tectonic zones such as northwestern Iran and the region surrounding the South Caspian Basin. Accordingly, two drastically different stress fields prevail in either sides of the North Tabriz fault such that the NW-trending horizontal compression in the northern part changes into the NE direction in the southern regions; the type and boundary of this change remain unknown. Every kinematic and structural investigation in NW Iran would help to determine the boundary condition and characteristics of this significant geodynamic complexity. The Mahneshan–Mianeh Cenozoic basin, located at the transition of the two aforementioned tectonic provinces, is a key area providing crucial data for this geodynamic issue. This area, which is also called “Folded Miocene Belt”, is a NW-trending fault-bounded narrow basin developed in the hinterland of the NW-trending Zagros orogen. The Late Miocene detritic sedimentary sequence of the Upper Red Formation constitutes the dominant outcrops of the basin. The sequence is unconformably overlaid by Late Miocene conglomerate to Pliocene-Quaternary deposits. Main geological structures of the basin are NW-trending detachment folds evolved in the fault-related folds in hanging wall of shallow reverse faults. This structural assemblage has been produced and evolved by different stress states during the Late-Miocene compressional tectonic regime.

The original data presented in this paper are based on the remote-sensing analysis of satellite imageries and structural field surveys including the study of folding stages, folding interference patterns and faulting trends. These are complemented by the measurement of folds geometry and fault kinematics data collected in 25 sites throughout the area of interest. The inversion of fault kinematics data allowed us to investigate the post-Miocene tectonic regimes affecting the area. The sorting and separation of the kinematics data has been done considering relative age relationships of fault planes and their striations (e.g. using cross-cutting and superposition relationships). FCALC software is used for the inversion analysis, with especial attentions to the rules of data separation, rotation and geological considerations recommended in fault inversion processes.

The inversion of fault slip data related to the youngest tectonic regime leads to the determination of the present-day state of stress characterized by a NE-trending maximum horizontal compression. The penultimate Pliocene – Quaternary state of stress (paleostress field) was investigated after the removing of kinematic signatures of the youngest tectonic regime. The Pliocene – Quaternary paleostress state is characterized by a compressional tectonic regime with ~N138E direction of maximum horizontal compression, which is compatible with the results of previous researches in surrounding areas.

The study of surface folding patterns and geometry of folds indicates superposition of the Late-Miocene NW-

trending fold set by a younger sub-vertical NE-trending fold set. This second folding stage is especially developed in northern and central parts of the basin, in Pliocene – Quaternary geological units. Superposition of these folding geometries results in the formation of basin and dome and boomerang interference patterns, which are clearly visible in satellite imageries. The penultimate Pliocene – Quaternary stress field (NW-trending compression) is responsible for the formation of the last NE-trending folding stage. This paleostress field was changed into a modern compressional stress state characterized by a NE-trending regional compression. The modern stress state of the Mahneshan – Mianeh basin is well consistent with the overall direction of the Arabia – Eurasia convergence and clearly discriminates the ongoing kinematic characteristics of the area of interest from the region to the north of the North Tabriz fault. This puts the boundary of these distinct tectonic domains to the vicinity of the North Tabriz fault.

Keywords: Paleostress, NW Iran, Mahneshan–Mianeh, Fault Kinematics, Folding Superposition.